

# 有限要素法弾塑性解析における増分計算の精度について

横浜国大工学部 青木博文  
同 ○中込忠男

## §1. はじめに

有限要素法を用いた連続体の弾塑性解析は、金属材料の場合に応力とひずみの関係を応力増分とひずみ増分で対応させるのが一般的であるため、弾性解析のように応力分布を1回の逆行列計算によって求め得るのと異なり、外力増分と変位変分で変形の経路に沿って刻々と計算を重ね、各荷重のものでの応力分布を求める増分法が用いられている。

このようにして、有限要素法による弾塑性解析の方法が確立されると、その結果は実験値との比較が可能となり、解析に用いられた仮定の正当性や精度について評価できるようになつた。有限要素法弾塑性解析で得られた解が実験値と異なる場合に考えられる原因として、実験誤差がなければ、

- (1) 連続体を有限要素に分割した時のモデル化
- (2) 逆行列その他の演算の誤差
- (3) 素材の応力とひずみ関係

を主なものとして挙げることができる。(1),(2)は、増分法に限らず有限要素法では必ず検討しなければならず、(3)は塑性力学に基づいて今後とも基礎的な実験がは必要となる。上述の他に、

- (4) 増分計算によつて生ずる誤差

を考えられる。弾塑性解析は、解析しようとする物体が外力を受けた場合に塑性域がいかに広がるかを求めるに目的はあるが、建築物のように不確定次数の高い構造物を設計しようとすると、最終的にはその構造体の終局耐力および変形能力を求めることが要求され、したがつて、変形も大きく、 $P\sim\delta$ 効果や形状変化が最大荷重に大きな影響を与えることになる。

以下では、有限要素法弾塑性解析における増分計算の中で、大変形にともなつて生じる問題を幾何剛性マトリックスと形状変化の影響に分け、従来から述べられてゐる理論を整理し、簡単な例題で検討を行なう。

## §2. 幾何剛性マトリックスについて

従来から行なわれてゐる小変形理論の外力と変位の関係は、剛性マトリックスを用いると、

$$\mathbf{F} = \mathbf{K} \boldsymbol{\delta} \quad (1)$$

ただし  $\mathbf{F}$  : 節点外力ベクトル

$\boldsymbol{\delta}$  : 節点変位ベクトル

$$\mathbf{0} = \mathbf{D} \boldsymbol{\epsilon} : \text{応力ベクトル} \quad (2)$$

$$\boldsymbol{\epsilon} = \mathbf{B} \boldsymbol{\delta} : \text{ひずみベクトル} \quad (3)$$

$$\mathbf{K} = \int \mathbf{A}^T \mathbf{B}^T \mathbf{D} \mathbf{B} \mathbf{A} dV : \text{剛性マトリックス} \quad (4)$$

である。増分形で表わすと、仮想仕事の原理を用いて、

$$\Delta F = K \Delta \delta \quad (5)$$

$$\Delta \theta = D \Delta \epsilon \quad (6)$$

で表わされる。したがって、ある荷重段階で増分量が分ると、それを加えることによって新しい状態を知ることになる。この時、増分量を限りなく小さくすれば同じように小さくなる誤差と、増分量をいくら小さくしても変形が生じてくれれば避けられない誤差を区別する必要がある。例えば、節点外力  $F$  に増分量  $\Delta F$  を加える操作では、 $F$  の加わっていた節点は移動して新しい位置にきているので、そのまま加えることができない。とくに、要素が回転したときには釣合にななくなる。これを補正するものが幾何剛性マトリックスである。Zienkiewicz<sup>(1)</sup>によると、

$$K_g = \frac{\partial}{\partial \delta} \{ T^T F \} \quad (7)$$

ここで  $T$ : 要素の剛体回転量に対する座標変換マトリックスである。これを平面応力状態の三角形要素（節点名  $i, j, m$ ）について計算してみると、剛体回転は

$$\theta = \frac{1}{2} \left( \frac{\partial v}{\partial x} - \frac{\partial u}{\partial y} \right) \quad (8)$$

であるから、変位関数として一次多項式を用いると

$$\theta = \frac{1}{4\Delta} \begin{bmatrix} -c_i & b_i & -c_j & b_j & -c_m & b_m \end{bmatrix} \begin{bmatrix} u_i \\ v_i \\ u_j \\ v_j \\ u_m \\ v_m \end{bmatrix} \quad (9)$$

ただし  $c_i = x_m - x_j$  : 節点  $x$  座標の差

$b_i = y_j - y_m$  : 節点  $y$  座標の差

$$\Delta = \frac{1}{2} \begin{vmatrix} 1 & x_i & y_i \\ 1 & x_j & y_j \\ 1 & x_m & y_m \end{vmatrix}$$

となるから、結局

$$K_g = \frac{1}{4\Delta} \begin{bmatrix} U_i \sin \theta + V_i \cos \theta \\ -U_i \cos \theta + V_i \sin \theta \\ U_j \sin \theta + V_j \cos \theta \\ -U_j \cos \theta + V_j \sin \theta \\ U_m \sin \theta + V_m \cos \theta \\ -U_m \cos \theta + V_m \sin \theta \end{bmatrix} \begin{bmatrix} c_i & -b_i & c_j & -b_j & c_m & -b_m \end{bmatrix} \quad (10)$$

ここで  $U_i$  : 節点  $i$  の外力ベクトルの  $x$  方向成分

$V_i$  : 節点  $i$  の外力ベクトルの  $y$  方向成分

となる。

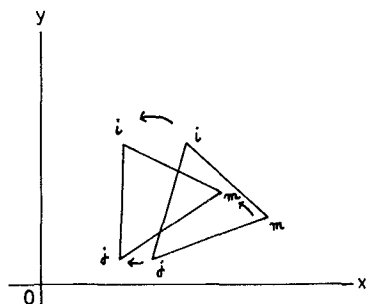


Fig.1

増分計算で要素の局所座標をその増分開始ごとに絶対座標に一致させると、外力の増分ごとに要素の座標は新しくなり、 $b_i, c_i, \theta$  も新しく計算しなおすことになる。このようにすれば、いつでも  $\theta = 0$  と置けるので、

$$K_g = \frac{1}{4\Delta} \begin{bmatrix} V_i \\ -U_i \\ V_j \\ -U_j \\ V_m \\ -U_m \end{bmatrix} \begin{bmatrix} c_i - b_i & c_j - b_j & c_m - b_m \end{bmatrix} \quad (11)$$

となる。

以上は、要素の剛体回転から幾何剛性マトリックスを求めたが、三角形要素の各辺の回転量を用いて要素の回転とみなす方法もある。さらに、Argyris<sup>(2)</sup>は有限要素をトラスに置換し2、力の釣合いでつぎのように求めている。すなはち、要素の各辺方向に外力を分け、

$$\begin{bmatrix} U_{ij} \\ U_{jm} \\ U_{mi} \end{bmatrix} = \begin{bmatrix} -\cos(ij, x) & -\cos(ij, y) & \cos(ij, x) & \cos(ij, y) & 0 & 0 \\ 0 & 0 & -\cos(jm, x) & -\cos(jm, y) & \cos(jm, x) & \cos(jm, y) \\ \cos(mi, x) & \cos(mi, y) & 0 & 0 & -\cos(mi, x) & -\cos(mi, y) \end{bmatrix} \begin{bmatrix} U_i \\ V_i \\ U_j \\ V_j \\ U_m \\ V_m \end{bmatrix} \quad (12)$$

と表現して、

$$K_g = \begin{bmatrix} A_{ij} - A_{mi} & B_{ij} - B_{mi} & -A_{ij} & -B_{ij} & A_{mi} & B_{mi} \\ D_{ij} - D_{mi} & -B_{ij} & -D_{ij} & B_{mi} & D_{mi} & \\ A_{jm} + A_{ij} & B_{jm} - B_{ij} & -A_{jm} & -B_{jm} & & \\ D_{jm} - D_{ij} & -B_{jm} & -D_{jm} & & & \\ -A_{mi} + A_{jm} & -B_{mi} + B_{jm} & & & & \\ -D_{mi} + D_{jm} & & & & & \end{bmatrix} \quad (13)$$

$$A_{ij} = \frac{U_{ij}}{l_{ij}} (1 - \cos^2(ij, x))$$

$$B_{ij} = \frac{-U_{ij}}{l_{ij}} \cos(ij, x) \cos(ij, y)$$

$$D_{ij} = \frac{U_{ij}}{l_{ij}} (1 - \cos^2(ij, y))$$

$l_{ij}$  : 頂点 i と j の距離

$\cos(ij, x)$  : 要素の辺 ij の x 軸との方向余弦

と言っている。以上で幾何剛性マトリックスの考え方の中、剛体回転を基礎とした(11)式は、ひずみが大きくなると要素の形状変化がでてくると誤差は大きくなる。また、要素の一辺の回転がその要素全体の回転とみなす方法は、それが剛体回転とも一致しないので釣合いで崩れてくる。三角形要素の全ての辺の回転を求め、これらを平均したものに近い(13)式では、ひずみが大きくなても使用可能である。

要素が回転すると、外力だけではなく応力テンソルの表示も変化するので、考慮する必要がある。変位が知れれば、(9)式より剛体回転量が求まるので、

$$\begin{bmatrix} \sigma_x & \tau_{xy} \\ \tau_{yx} & \sigma_y \end{bmatrix} = \begin{bmatrix} \cos\theta & -\sin\theta \\ \sin\theta & \cos\theta \end{bmatrix} \begin{bmatrix} \sigma_{x'} & \tau_{x'y'} \\ \tau_{y'x'} & \sigma_{y'} \end{bmatrix} \begin{bmatrix} \cos\theta & \sin\theta \\ -\sin\theta & \cos\theta \end{bmatrix} \quad (14)$$

を用いる。

### 3. 形状変化による影響

つぎに、大歪大変形の問題として、形状の変化による影響を考えなければならぬ。これは、要素の体積変化を考慮して次の微小量までとめたひずみエネルギーを考えると分りやすい。いま、平面応力状態におけるX方向のひずみエネルギーは、

$$\begin{aligned} & (\sigma_x + \frac{1}{2} \Delta \sigma_x) \Delta y (1 + \frac{1}{2} \Delta \varepsilon_y) t_0 (1 + \frac{1}{2} \Delta \varepsilon_x) \{ \Delta x \Delta \varepsilon_x - \frac{1}{4} \Delta x \Delta \tau_{xy}^2 \} \\ & = [ \sigma_x \Delta \varepsilon_x + \frac{1}{2} \Delta \sigma_x \Delta \varepsilon_y + \{ \frac{1}{2} (\Delta \varepsilon_y + \Delta \varepsilon_x) \Delta \varepsilon_x - \frac{1}{4} \Delta \tau_{xy}^2 \} \Delta V ] \Delta V \\ & \text{ただし } \Delta \sigma_x, \dots : \text{増分} \\ & t_0 : \text{板厚} \end{aligned} \quad (15)$$

同様にして、Y方向およびせん断変形についても求まる。全ての応力成分についてひずみエネルギーの増加分は、単位体積当たりで、

$$\begin{aligned} \frac{\Delta U}{\Delta V} &= \sigma_x \Delta \varepsilon_x + \sigma_y \Delta \varepsilon_y + \tau_{xy} \Delta \tau_{xy} + \tau_{yx} \Delta \tau_{yx} + \frac{1}{2} \Delta \sigma_x \Delta \varepsilon_x + \frac{1}{2} \Delta \sigma_y \Delta \varepsilon_y + \frac{1}{2} \Delta \tau_{xy} \Delta \tau_{xy} + \frac{1}{2} \Delta \tau_{yx} \Delta \tau_{yx} \\ & + \frac{1}{2} [ \sigma_x \{ (\Delta \varepsilon_y + \Delta \varepsilon_x) \Delta \varepsilon_x - \frac{1}{2} \Delta \tau_{xy}^2 \} + \sigma_y \{ (\Delta \varepsilon_x + \Delta \varepsilon_y) \Delta \varepsilon_y - \frac{1}{2} \Delta \tau_{xy}^2 \} + \tau_{xy} \{ (\Delta \varepsilon_x + \Delta \varepsilon_y + \Delta \varepsilon_z) \Delta \tau_{xy} \} ] \end{aligned} \quad (16)$$

ここで、応力増分とひずみ増分とし、

$$\Delta \sigma = D^P \Delta \varepsilon \quad (17)$$

$$D^P = \{ d_{ij} \} \quad (18)$$

とすれば、塑性変形が非圧縮性であると仮定して  $\Delta \varepsilon_z$  を求めると、

$$\Delta \varepsilon_z = \left\{ \frac{1-2\nu}{E} (d_{11} + d_{21}) - 1 \right\} \Delta \varepsilon_x + \left\{ \frac{1-2\nu}{E} (d_{12} + d_{22}) - 1 \right\} \Delta \varepsilon_y + \frac{1-2\nu}{E} (d_{13} + d_{23}) \Delta \tau_{xy} \quad (19)$$

となるので、これから、

$$\frac{\Delta U}{\Delta V} = \Delta \varepsilon^T \sigma + \frac{1}{2} \Delta \varepsilon^T D^P \Delta \varepsilon + \frac{1}{2} \Delta \varepsilon^T D'^P \Delta \varepsilon \quad (20)$$

$$D^P = \begin{bmatrix} (a_1 - 1) \sigma_x & \frac{1}{2} (a_1 \sigma_y + a_2 \sigma_x) & \frac{1}{2} (a_1 \tau_{xy} + a_3 \sigma_x) \\ (a_2 - 1) \sigma_y & \frac{1}{2} (a_2 \tau_{xy} + a_3 \sigma_y) & \\ (\text{Sym.}) & & a_3 \tau_{xy} - \frac{1}{2} (\sigma_x + \sigma_y) \end{bmatrix} \quad (21)$$

$$a_1 = \frac{1-2\nu}{E} (d_{11} + d_{21})$$

$$a_2 = \frac{1-2\nu}{E} (d_{12} + d_{22})$$

$$a_3 = \frac{1-2\nu}{E} (d_{13} + d_{23})$$

となる。したがって、剛性マトリックスは、

$$K' = A^T B^T \{ D^P + D'^P \} B A V \quad (22)$$

となる。  $D^P$  のところを変化させることによって、同じ計算手順が使用できる。全く同じ方法で主体の場合にも求めることができる。

$$\mathbb{D}^P = \begin{bmatrix} 0 & \frac{1}{2}(\sigma_x + \sigma_y) & \frac{1}{2}(\sigma_x - \sigma_y) & 0 & 0 & 0 \\ 0 & \frac{1}{2}(\sigma_y + \sigma_z) & 0 & 0 & 0 & 0 \\ 0 & 0 & 0 & 0 & 0 & 0 \\ 0 & -\frac{1}{2}(\sigma_x + \sigma_y) & 0 & 0 & 0 & 0 \\ (\text{Sym.}) & -\frac{1}{2}(\sigma_y + \sigma_z) & 0 & 0 & 0 & 0 \\ 0 & -\frac{1}{2}(\sigma_x + \sigma_z) & 0 & 0 & 0 & 0 \end{bmatrix} \quad (23)$$

以上、直接ひずみエネルギーを計算して剛性マトリックスの補正項を求めたのであるが、これとさらに厳密に考慮するためには、変形を考えた増分形の仮想仕事式<sup>(3)</sup>

$$\int dS_{ij} d\varepsilon_{ij} dV = \int l_i dS_{ij} du_j dV \quad (24)$$

ただし  $l_i$ : 考えている時刻の面法線の方向余弦

$$dS_{ij} = d\sigma_{ij} - \frac{\partial \sigma}{\partial x_i} dx_j - \sigma_{ik} \frac{\partial u_k}{\partial x_i} ; \text{公称応力増分}$$

$\sigma_{ij}, \sigma, u_k, x_i$ ; 真応力、密度、変位、座標

を使つて、三好らが求めている。<sup>(4)</sup>

試すよひ  $\frac{\partial u}{\partial x_i}$  をそれそれ  $\frac{1}{2}\tau_{xy}$  と近似すると、平面応力状態では、

$$\mathbb{D}^P = \begin{bmatrix} (a_1-1)\sigma_x & \frac{1}{2}(a_2\sigma_x + a_1\sigma_y) & \frac{1}{2}\{a_3\sigma_x + (a_1-1)\tau_{xy}\} \\ (a_2-1)\sigma_y & \frac{1}{2}\{a_3\sigma_y + (a_2-1)\tau_{xy}\} & \\ a_3\tau_{xy} & -\frac{1}{4}(\sigma_x + \sigma_y) & \end{bmatrix} \quad (25)$$

となる。また、(1)式から3次元につけて求めてみると、同様に  $\frac{\partial u}{\partial x_i} \rightarrow \tau_{xy}$ ,  $\frac{\partial u}{\partial x_i} \rightarrow \tau_{yz}$ ,  $\frac{\partial u}{\partial x_i} \rightarrow \tau_{zx}$  と近似して、つきのようになる。

$$\mathbb{D}^P = \begin{bmatrix} 0 & \frac{1}{2}(\sigma_x + \sigma_y) & \frac{1}{2}(\sigma_x - \sigma_y) & 0 & 0 & \frac{1}{2}\tau_{xy} \\ 0 & \frac{1}{2}(\sigma_y + \sigma_z) & \frac{1}{2}\tau_{yz} & 0 & 0 & 0 \\ 0 & 0 & 0 & \frac{1}{2}\tau_{zx} & 0 & 0 \\ -\frac{1}{4}(\sigma_x + \sigma_y) & -\frac{1}{4}(\tau_{yz} + \tau_{xy}) & -\frac{1}{4}(\tau_{zx} + \tau_{xy}) & \\ (\text{Sym.}) & -\frac{1}{4}(\sigma_y + \sigma_z) & -\frac{1}{4}(\tau_{zx} + \tau_{yz}) & \\ -\frac{1}{4}(\sigma_x + \sigma_z) & & & \end{bmatrix} \quad (26)$$

大変大変形の問題は、最終的には曲線座標で取扱わなければならぬが、Riceらのテンソル計算によると、外力増分と変位増分との間の関係として、

$$\tilde{\mathbb{P}}_r^N = (K_{er}^{(0)NA} + K_{er}^{(1)NA} + K_{er}^{(2)NA} - \bar{Q}_{er}^{NA}) \Delta \bar{u}_r^{ea} \quad (27)$$

$$\text{ここで } K_{er}^{(0)NA} = A_r^{en} \left\{ \int \frac{\partial R_p^e}{\partial X_j} D_{jkl} \frac{\partial R_k^e}{\partial X_p} dV^e \right\} A_r^{ea}$$

$$D_{jkl} = \left| \frac{\partial X_j}{\partial x_k} \right| \frac{\partial X_k}{\partial x_n} \frac{\partial X_n}{\partial x_l} \left\{ C_{mnkl} \frac{\partial X_s}{\partial x_l} + \bar{\epsilon}_{mn} \frac{\partial X_s}{\partial x_k} - \bar{\epsilon}_{mk} \frac{\partial X_s}{\partial x_m} - \bar{\epsilon}_{nk} \frac{\partial X_s}{\partial x_n} \right\} \Delta E_{rs} \quad (28)$$

$\bar{Q}_{er}^{NA}$ : 线刚性剛性

$C_{ijkl}$ : ひずみにかかる応力～ひずみ関係を与えるテンソル

$$K_{er}^{(1)NA} = A_r^{en} \left\{ \int S_{ij} \frac{\partial R_p^e}{\partial X_i} \frac{\partial R_q^e}{\partial X_j} dV^e \right\} A_r^{ea}$$

$$K_{er}^{(2)NA} = A_r^{en} \left\{ \int D_{jkl} \left[ A_g^M \bar{u}_g^M \left( \frac{\partial R_p^e}{\partial X_k} \frac{\partial R_q^e}{\partial X_p} + \frac{\partial R_k^e}{\partial X_p} \frac{\partial R_q^e}{\partial X_j} \right) \right. \right. \\ \left. \left. + \bar{u}_g^M \bar{u}_f^P A_f^M A_g^P \frac{\partial R_p^e}{\partial X_k} \frac{\partial R_q^e}{\partial X_p} \frac{\partial R_s^e}{\partial X_j} \frac{\partial R_t^e}{\partial X_s} \right] dV^e \right\} A_r^{ea}$$

$\Delta \tilde{P}_k^N$  : 外力増分,  $\Delta \bar{U}_r^b$  : 变位増分,  $S_{ij}$  : キルヒホフの応力,  $\bar{U}_n^M$  : 变位  
 $R_i^d$  と  $A_i^{dN}$  は、つきの関係をみたす变位变换マトリックス  
 $u_i = R_i^d(\bar{x}) A_i^{dN}(\bar{x}) \bar{U}_n^M$

$x_0$ : 初期座標,  $\bar{x}_0$ : 考えている时刻の座標, 節点に考慮した全ての量に一が付されといふ。各記号の下の添字は、座標方向を表わし、肩文字 N, M は 節点を表わす。

いま、密度の变化  $|\frac{\partial z}{\partial x}| \approx 1$  として高次の項を無視すると、(28)式は

$$C_{ijrs}^* = C_{ijrs} + \delta_{ij} \delta_{rs} - \frac{1}{2} (\delta_{mk} \delta_{ln} + \delta_{ml} \delta_{kn} + \delta_{nk} \delta_{lm} + \delta_{nl} \delta_{km}) \quad (29)$$

ただし  $\delta_{ij}$  : クロネッカーデルタ

となり、平面应力状態におけるキルヒホフの応力増分とクリーンのひずみ増分の関係は

$$\begin{bmatrix} \Delta S_{11} \\ \Delta S_{22} \\ \Delta S_{12} \end{bmatrix} = \begin{bmatrix} C'_{1111} - (1+t_{31}) \bar{\sigma}_{11} & C'_{1122} + (1-t_{32}) \bar{\sigma}_{11} & C'_{1112} - \bar{\tau}_{12} \\ C'_{1122} + (1-t_{31}) \bar{\sigma}_{22} & C'_{2222} - (1+t_{32}) \bar{\sigma}_{22} & C'_{2212} - \bar{\tau}_{12} \\ C'_{1211} - t_{31} \bar{\sigma}_{12} & C'_{1222} - t_{32} \bar{\sigma}_{12} & C'_{1212} - \frac{1}{2} (\bar{\sigma}_{11} + \bar{\sigma}_{22}) \end{bmatrix} \begin{bmatrix} \Delta E_{11} \\ \Delta E_{22} \\ \Delta E_{12} \end{bmatrix} \quad (30)$$

ここで、 $C'_{ijkl}$ : 平面应力状態における応力マトリックス D の成分

$$t_{31} = \frac{C_{3311}}{C_{3333}}, \quad t_{32} = \frac{C_{3322}}{C_{3333}}$$

したがって、上述と同じ表現になおすと、

$$D^P = \begin{bmatrix} -(1+t_{31}) \bar{\sigma}_x & (1-t_{32}) \bar{\sigma}_x & -\bar{\tau}_{xy} \\ (1-t_{31}) \bar{\sigma}_y & -(1+t_{32}) \bar{\sigma}_y & -\bar{\tau}_{xy} \\ -t_{31} \bar{\tau}_{xy} & -t_{32} \bar{\tau}_{xy} & -\frac{1}{2} (\bar{\sigma}_x + \bar{\sigma}_y) \end{bmatrix} \quad (31)$$

となる。これを3次元で表わすと、

$$D^P = \begin{bmatrix} -\bar{\sigma}_x & \bar{\sigma}_x & \bar{\sigma}_x & -\bar{\tau}_{xy} & 0 & -\bar{\tau}_{xz} \\ \bar{\sigma}_y & -\bar{\sigma}_y & \bar{\sigma}_y & -\bar{\tau}_{xy} & -\bar{\tau}_{yz} & 0 \\ \bar{\sigma}_z & \bar{\sigma}_z & -\bar{\sigma}_z & 0 & -\bar{\tau}_{yz} & -\bar{\tau}_{xz} \\ 0 & 0 & \bar{\tau}_{xy} & -\frac{1}{2} (\bar{\sigma}_x + \bar{\sigma}_y) & 0 & -\frac{1}{2} (\bar{\tau}_{xz} + \bar{\tau}_{yz}) \\ \bar{\tau}_{yz} & 0 & 0 & -\frac{1}{2} (\bar{\tau}_{yz} + \bar{\tau}_{xz}) & -\frac{1}{2} (\bar{\sigma}_y + \bar{\sigma}_z) & 0 \\ 0 & \bar{\tau}_{xz} & 0 & 0 & -\frac{1}{2} (\bar{\tau}_{xy} + \bar{\tau}_{yz}) & -\frac{1}{2} (\bar{\sigma}_z + \bar{\sigma}_x) \end{bmatrix} \quad (32)$$

となる。

ひずみエネルギーを直接計算して求めた(21)式と变形を考慮した増分形仮想仕事法による(25)式はエネルギーの2次の項まで考えたもので、形もほとんど一致している。違いは  $\bar{\tau}_{xy}$  に関する項で、ひずみエネルギーを求める際に、 $\frac{\partial u}{\partial y}$  と  $\frac{\partial v}{\partial x}$  の項を別々に計算するより厳密となる。このようにすると、上で示した  $D^P$  のような形には表示ができない。テンソル計算より求めた(30)式は、これら2つの式とは多少異なっている。しかし、单纯引張のような応力状態では、(25)式と同じ結果が得られる。

#### 4 計算例

今回は、増分計算の検討として主に形状変化の影響を考察するために、最も単純な例題として単純引張におけるくびれ発生現象を解析を行なおうとした。

単純引張について、くびれ現象を解析的に再現するためには、必ず形状変化の影響を考慮しなければならない。この種の研究としては、(31)式に相当するものを用いて最大荷重時までの挙動を考察しているものがある。

ここでは、まず(25)式を用いて、長方形の引張試験片について、 $\gamma_y$ 方向に荷重を加えた場合を計算した。その結果、Fig.-2に示した様に、途中から剛性マトリックスの determinant が大きくなり、最大荷重時を計算できない。これは、本来  $\gamma_y$  のみに応力が存在するのであるが、計算の誤差で  $\sigma_x$  が多少とも出でくると、それが次第に累積されてしまう。

つきに、同じ方法であるが、 $\sigma_x$  の方向の計算誤差を無くすために、増分毎に  $\sigma_x = \sigma_{xy} = 0$  と置いて計算してみると、最大荷重まで計算できる。しかし、次式を直接積分した理論値

$$\Delta F = \frac{E \epsilon_x^2}{E + H'} \left\{ 1 - \left( \frac{1}{E} + \frac{2K}{E} \right) \delta_y \right\} V \quad (33)$$

ここで  $H'$ ；塑性硬化率とは大きく關係している。単純引張の時には、

$$\delta_y > \frac{EH'}{E + H'}$$

を満足するところでくびれが発生するところになつておる。部分的には除荷も起ることになる。

そこで、変形後の状態を基にして、各節点の外力から要素の応力を直接計算してみる。仮想仕事式を用いれば、

$$F^T \delta = \sigma^T \epsilon V$$

であるから、応力を求めることができる。ただし、この場合は、新しい座標、板厚など全て増分を加えた後で、節点外力に従う応力を求めるのである。節点外力は、平面応力状態では 6 つの成分があり、応力成分は 3 つであるので、3 つの式を用いるだけである。

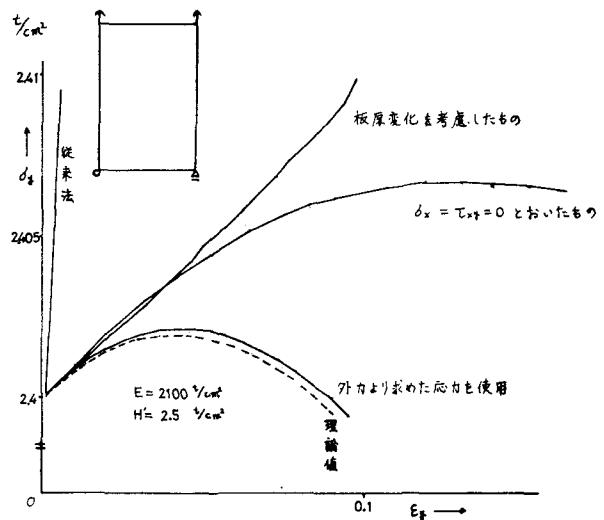


Fig. 2

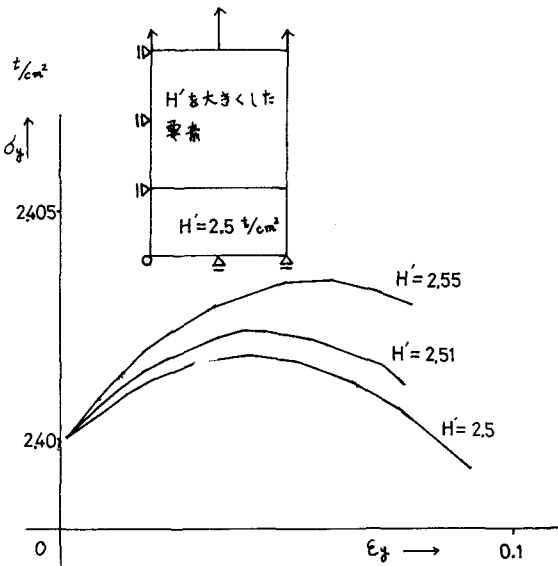


Fig. 3

$$\Omega^T = \{U_i, V_i, U_j\} \begin{bmatrix} b_i & 0 & b_j \\ 0 & C_i & 0 \\ 0 & b_i & C_j \end{bmatrix}^{-1} \nabla \quad (34)$$

から応力は求まる。ただし、 $C_i = 0$  の時には、節点外力として  $\{U_j, V_j, U_m\}$  を用ひればよい。このようにして計算した応力は外力と釣合っているので、仮も  $\Delta x$  もほんどのまゝの状態で増分の計算ができる。その結果は、(33)式の理論値とよく一致した。

#### 4. 終りに

増分計算において、最大荷重を正確に求めるためには幾何剛性マトリックスと形状変化の影響を考慮しなければならない。今回とくに後者について単純な引張試験の解析を行なってみたが、最大荷重時を求めるには種々の困難な点もあつた。また、増分計算によって最大荷重時以後の挙動についても研究されることが望まれる。

なお、本研究で使用した電子計算機は東京大学大型計算機センター HITAC 8800である。

#### 参考文献

- 1) Zienkiewicz, O.C. and Cheung 吉誠雅夫監訳 / マトリックス有限要素法 / 培風館 昭和45年
- 2) Argyris, J.H. / Matrix Analysis of Three Dimensional Elastic Media Small and Large Displacement / AIAA Journal Vol.2 No.1 Jan. 1965
- 3) 山田嘉昭 / 非線形問題解法の現状と展望 / 生産研究 22巻1号 1970.1 P.6
- 4) 宮本博, 三好俊郎 / 延性破壊に関する研究 - 第1報 大変形の有限要素法によるき裂-ボイド合体の弾塑性解析 - / 日本機械学会講演論文集 No.710-10 P147
- 5) Hibbit, H.D., Marcal, P.V. and Rice, J.R. / A Finite Element Formulation for Problems Large Strain and Large Displacement / Int. J. Solids Structures, 1970, Vol.6 P1069
- 6) Needleman, A. / A Numerical Study of Necking in Circular Cylindrical Bars / J. Mech. Phys. Solids, 1972, Vol.20 P.111
- 7) 瀬口靖幸 / 有限要素法による大変形大ひずみ解析の考え方 / 材料 Vol.22 No.237 June 1973 P586